

اندازه گیری توزیع دوز با استفاده از ژل پلیمر برای بررسی صحت عملکرد سیستم طراحی درمان

علیرضا فرج اللهی^۱، جلیل پیرایش اسلامیان^۲، حسین ساعدی پور^۳

تاریخ پذیرش: ۸۲/۵/۱۴

Title: Measurment of dose distribution using polymer gel for Potential Verification of a treatment planning system.

Authers: Farajollahi A.R.¹, Pirayesh Islamian J.², Saedi Pour H³.

Abstract: Introduction of polymer gel as a dosimeter and its unique advantages in measuring dose distributions opens up some important applications in radiotherapy. This paper will discuss the performance of the gel dosimeter in measurements associated with external beam treatment, which is the most common form of radiotherapy. The central axis depth dose was measured in a cylindrical Perspex of 150 mm in diameter. Irradiation was made using radiation field of 5x5 and 8x8 cm and the results compared with data obtained using a small ionization chamber. The investigation was also made to measure dose distribution resulting from a three, four field irradiation, oblique incidence and an inhomogenous gel. Comparison was made with the plan produced by Helax planning system simulating the experimental condition using "Pips". The percentage depth dose on the central axis in both 5x5 and 8 x 8 radiation fields have shown good agreement with ion chamber within $\pm 4\%$. For 50% isodose a comparison of dose arease in the gel and Helax in three- field radiation resulted in agreement within $\pm 4\%$ using Pips. Dose distribution produced in the gel for four fields agreed within $\pm 2.7\%$ to 5% up to isodose level of 70% and $\pm 8\%$ at 60% compared to Helax. The measurements of isodose levels for different radiation field in the case of an air gap indicated reasonably good agreement between gel and plan from Helax at the 90% dose level. The produced dose distributions from the 30° obique beam have shown large differences of about 10 mm in 90 to 70% in the Perspex phantom but agrees well in the glass phantom. The results have indicated the depth dose and dose distributions from standard radiotherapy techniques produced in the gel agree with ion chamber and also basic dose distributions produced by Helax. The gel performance for measurments using an air gap in the phantom was quite encouraging.

Key words: gel dosimetry, dose distribution, dosimetry, treatment planning.

۱- Assistant Professor, School of Medicine , Tabriz University of Medical Sciences.

۲- Instructor, School of Medicine , Tabriz University of Medical Sciences.

۳- Instructor, School of Medicine , Tabriz University of Medical Sciences.

۱- استادیار دانشکده پزشکی، دانشگاه علوم پزشکی تبریز.

۲- مریمی دانشکده پزشکی، دانشگاه علوم پزشکی تبریز.

۳- مریمی دانشکده پزشکی، دانشگاه علوم پزشکی تبریز.

چکیده

معرفی ژل پلیمر برای دوزیمتر و مزایای منحصر بفرد آن در اندازه گیری توزیع دوز کاربردهای مهمی را در رادیوتراپی پیدا کرده است. در این مقاله عملکرد دوزیمتر ژل در اندازه گیری های مربوط به درمان از راه دور که معمول ترین شکل رادیوتراپی می باشد، مورد بحث قرار گردید. دراین بررسی، دوز عمقی در محور مرکزی در فانتوم استوانه ای ساخته شده از پرسپیکس با قطر ۱۵۰ میلیمتر اندازه گرفته شد. فانتوم با میدانی به ابعاد 5×5 و 8×8 سانتیمتر تشعشع داده شده و نتایج آن با اندازه گیری های آنده از میدانی به ابعاد 5×5 و 8×8 سانتیمتر مقایسه گردید. بررسی ها با اندازه گیری توزیع دوز حاصل از تشعشع سه و چهار میدانی، تابش مایل و همچنین توزیع دوز در ژل ناهمگن (غیر یکنواخت) ادامه یافت و نتایج حاصل از ژل با توزیع دوزهای بدست آمده از سیستم رایانه ای طرح درمانی هیلکس (Helax) با شبیه سازی شرایط آزمایش و با استفاده از نرم افزار PIPS مقایسه گردید. درصد دوز عمقی در محور مرکزی در هر دو میدان تابش 5×5 و 8×8 سانتیمتری توافق خوبی با میزان بدست آمده از اطاقک یونیزاسیون با اختلاف $4 \pm$ درصد نشان داد. در منحنی دوز یکسان 5° درصد، مقایسه مساحت دوز حاصل از تشعشع سه میدانی در ژل و هیلکس با استفاده از PIPS منجر به توافقی با اختلاف $4 \pm$ درصد شد. توزیع دوز حاصل از تشعشع چهار میدانی تا منحنی های دوز یکسان 70° درصدی منجر به توافقی با اختلاف $2/7 \pm 5$ درصد و در منحنی 60° درصدی با اختلاف $8 \pm$ درصد با هیلکس شد. اندازه گیری منحنی های توزیع دوز در سطح منحنی دوز 90° درصدی توافق نسبتاً خوبی با نتایج بدست آمده از هیلکس نشان داد. توزیع دوز ناشی از تابش مایل 30° درجه ای اختلاف زیادی در حدود 10° میلیمتر در منحنی های 70° تا 90° درصدی بین دو سیستم نشان داد. به هر حال تکرار آزمایش با فانتوم شبیه ای بجای پرسپیکس این عدم توافق را مرتفع نمود. نتایج گرفته شده نشان می دهد که توزیع دوز و دوز عمقی حاصل از تکنیکهای پرتو درمانی استاندارد در ژل، با توزیع دوزهای اتفاق یونیزان و همچنین توزیع دوز پایه حاصل از هیلکس توافق دارند. عملکرد ژل در اندازه گیری دوز با تعبیه شکاف هوایی در فانتوم کاملاً امیدوار کننده بود.

گل واژه گان: ژل پلیمر، توزیع دوز، پرتو درمانی، دوزیمتری، طراحی درمان.

مقدمه

در موقعیت های کلینیکی، بررسی قابلیت محاسبه سه بعدی توزیع دوز با دقت کافی، در شرایط واقعی ضرورت دارد. یک سیستم محاسباتی سه بعدی واقعی قادر است برخوردهای ذرات را در حجم مورد تابش، شکل سطح ورودی پرتو، حجمی که پراکندگی در آن صورت می گیرد و وجود غیر یکنواختی و میدان های نامنظم را به حساب آورد.

ایده آل این است که صحت عملکرد یک سیستم طراحی درمان، بر مبنای مقایسه دوز اندازه گیری

پیشرفت های اخیر در پرتو درمانی، نه تنها بطور قابل ملاحظه ای مدیون توسعه چشمeh های جدید پرتوزا میباشد، بلکه تکنیکهای پرتودهی نیز در آن سهم بسزائی دارد (۱). تکنیکهای جدید معمولاً پیچیده بوده و به سیستم های طراحی ای نیاز دارند که در آنها کامپیوترهای سریع و برنامه های نرم افزاری کاملاً پیشرفت ه برای انجام محاسبات با دقت بالا به کار گرفته شوند. به منظور استفاده از چنین سیستم هایی

صرف شده برای تصویر برداری از ژل با پارامترهای ذکر شده در حدود نیم ساعت بود.

الف-پرتودهی تک میدانی (تعیین دوز عمقی)

یک ظرف پرسپکس استوانه ای شکل با ۲/۵ لیتر ژل BANG پرشد. برای ترسیم منحنی دوز عمقی در محور مرکزی، فانتوم ژل از سمت قاعده استوانه با (SL75/5 استفاده از اشعه ایکس ۶ مگاولتی (فلیپس SL75/5) و میدان تابشی 5×5 سانتی متری تحت تابش قرار گرفت. سپس اندازه گیری با میدان 8×8 سانتیمتری تکرار و نتایج گرفته شده با داده های حاصله از اندازه گیری با اتاقک یونیزاسیون مقایسه گردید. دوز در عمق $1/5$ سانتی متری برای هر دو اندازه گیری هشت گری بود. ضخامت برش ها برای اندازه گیری توزیع دوز در میدان 5×5 سانتیمتری 3 میلی متر و در میدان 8×8 سانتی متری 20 میلی متر بوده و برشها در موازات محور پرتو (برش سازیتالی) بودند. افزایش ضخامت برش در میدان 8×8 در جهت تلاش برای بهبود کیفیت اندازه گیری (افزایش SNR) بود. اندازه گیری ها با اتاقک یونیزان در همان فانتوم با فاکتورهای پرتودهی یکسان انجام گرفت. برای این کار فانتوم با آب پر شده و اتاقک یونیزان (NE ۲۵۸۱) با الکترو متر Unidos PTW به دو میله مدرج پرسپکسی که نسبت به هم عمود بوده و می توانستند در هر دو جهت عمودی و افقی حرکت کنند وصل شده و دوز در عمق های مختلف در محور مرکزی فانتوم اندازه گرفته شد.

ب-پرتو دهی سه میدانی

برای بررسی توزیع دوز حاصل از پرتو دهی سه میدانی ۲ لیتر ژل BANG در فانتوم ساخته شده از پرسپکس تشبع داده شد. مرکز فانتوم در

شده در بیماران و محاسباتی که توسط چنین سیستمی انجام یافته صورت گیرد که البته این کار عملی نیست. بنابراین مقایسه مذکور باید تحت شرایط تجربی، حتی الامکان مشابه شرایط کلینیکی انجام گیرد.

نظریه مزایای منحصر به فرد ژل پلیمر از قبیل رزولوشن بالا، توانایی اندازه گیری سه بعدی دوز و معادل بافت نرم بودن آن امروزه این دوزیمتر در پرتو درمانی کاربرد فراوانی داشته (۲) و محققین بسیاری در به کار گیری آن در پروسه های مختلف پرتو درمانی کار می کنند (۳ و ۴). در این مقاله امکان تعیین صحت عملکرد سیستم طراحی درمان Helax TMS در شرایط متداول پرتویی با استفاده از ژل پلیمر مورد مطالعه قرار می گیرد. از آنجائی که اساس داده های هیلکس اندازه گیری های حاصل از اتاقک یونیزاسیون است بنابر این به خاطر اجتناب از تفسیر اشتباه نتایج، دوزهای عمقی در محور مرکزی اندازه گیری شده و با نتایج به دست آمده از اتاقک یونیزاسیون مقایسه می شوند.

مواد و روش کار

فرایند تولید ژل با جزئیات کامل در مقالات قبلی توضیح داده شده است (۵). برای کالیبره کردن ژل، شش ویال شیشه ای کوچک همراه با یک فانتوم به منظور پرتودهی پر شدند. نمونه های کالیبراسیونی سپس تحت تابش دوزهای جذبی صفرتا 10 گری قرار گرفتند. ژل ها با استفاده از اسکنر تمام بدنی زیمنس با قدرت یک Tesla و کویل مخصوص سر با Spin echo بکار گیری توالی پالس چند برشی تصویر برداری شدند. برای این اندازه گیری ها از زمان تکرار (TR) 6000 میلی ثانیه و زمان های اکوی (TE) 15 و 400 میلی ثانیه استفاده شد. زمان

همدیگر تحت تابش قرار گرفت. میزان پرتوودهی طوری محاسبه گردید که دوز کل در ایزوستنتر ۱۰ گری باشد. ژل چهار روز بعد از پرتوودهی اسکن و برش کرونال به ضخامت ۲۰ میلی متر به موازات محور دسته پرتو گرفته شد. سپس توزیع دوز اندازه گیری شده با ژل و داده های بدست آمده از کامپیوتر (Helax-TMS) با شبیه سازی شرایط آزمایش با هم مقایسه گردیدند.

د- توزیع دوز در ژل ناهمگن

به منظور ایجاد ناهمگونی در ژل یک لوله پرسپکسی به قطر ۵ cm و ارتفاع ۱۵ cm در مرکز فانتوم جاسازی شد. دو اندازه گیری با میادین ۴×۴ و ۶×۶ سانتیمتری انجام گرفت. میدان ۴×۴ سانتیمتری با استفاده از دسته پرتو ایکس ۶ مگاولتی (فیلیپس SL75/5) و میدان ۶×۶ سانتیمتری با استفاده از دستگاه ۸ مگاولتی (فیلیپس SL75/20) به صورت افقی تحت تابش قرار گرفتند. دوز هشت گری به ترتیب به عمق های ۵/۱۰ و ۱/۵ سانتی متری (عمق دوز حد اکثر d_{max}) اعمال شد. در این جا نیز سطوح هم دوز حاصل از طراحی درمان کامپیوتری Helax-TMS با توزیع دوز اندازه گرفته شده در ژل مقایسه گردید.

ه- دسته پرتو مایل

توزیع دوز حاصل از پرتو مایل نیز در فانتوم ساخته شده از پرسپکس اندازه گرفته شده و سپس با طرح درمان کامپیوتری مقایسه گردید. دو لیتر ژل در یک فانتوم پرسپکس تدارک دیده شد و با میدان پرتوی ۴×۴ سانتیمتری به موازات سطح ژل که با دیواره فانتوم زاویه ۲۰ درجه می ساخت تشبع داده شد. دوز جذبی ۸ گری با استفاده از شتاب هنده خطی ۶ مگاولتی (فیلیپس SL75/5) به عمق دوز حد اکثر

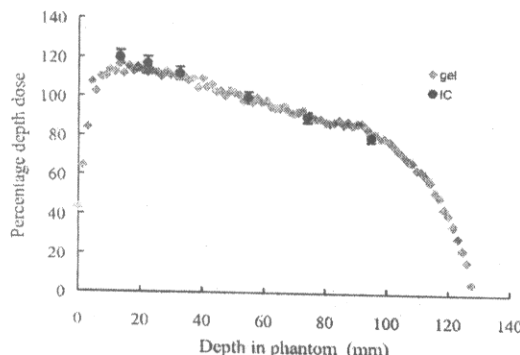
ایزو ستنتر قرار داده شد و ژل با سه میدان ۵×۵ سانتیمتری و بطور افقی تحت تابش قرار گرفت. میادین پرتو نسبت به هم ۱۲۰ درجه زاویه داشته و دوز در ایزوستنتر ۱۰ گری بود. به عبارتی دوز ناشی از هر میدان در عمق ماکزیمم ۴/۲ گری بود. برای تعیین تاثیر جنس فانتوم بر شکل توزیع دوز، اندازه گیری با فانتوم شیشه ای از جنس بروسیلیکات و به قطر ۱۵۲ میلی متر و ارتفاع ۱۹۲ میلی متر با ضخامت دیواره ای ۳ میلی متر تکرار شد. فانتوم شیشه ای تقریباً مشابه فانتوم پرسپکسی بوده و فاصله زمانی بین ساخت و پرتو دهی برای هر دو اندازه گیری یکسان بود. در تمامی موارد ژلهای در یخچال نگهداری و چهار روز بعد از پرتو دهی اسکن شدند. ضخامت ژل ها ۲۰ میلی متر بوده و در تمام اندازه گیری های دمای ژل به طور ثابت ۴ درجه سانتیگراد بود، برای بررسی اینکه چطور توزیع دوز اندازه گیری شده توسط ژل با توزیع دوز حاصل از سیستم طراحی درمان Helax-TMS همخوانی دارد یک طرح درمانی مشابه شرایط آزمون در Helax طراحی گردید. سپس سطوح هم دوز با استفاده از نرم افزار Pips (سیستم پردازش تصویر خروجی) مقایسه گردید. این سیستم با تعیین چندین نقطه به عنوان نشانه و ترسیم پیرامون ها در هر دو تصویر، آنها را مقایسه، سپس نتایج این مقایسه به صورت تصویری نمایش داده شوند. نواحی با دوز کمتر و بیشتر از میزان دوز داده شده، همراه با مقادیر عددی و درصد اختلاف آنها مشخص می شوند.

ج- پرتوودهی چهار میدانی

توزیع دوز ناشی از چهار میدان متقابل نیز با استفاده از دسته پرتو ایکس ۶ مگاولتی (فیلیپس SL75/5) در ژل بدست آمد. فانتومی حاوی ۲ لیتر ژل با چهار میدان ۴×۴ سانتی متری تحت زاویه ۹۰ درجه از

ناحیه build up برای اندازه گیری هایی که با اتاقک یونیزان انجام یافته است بخار محدودیت های ناشی از نگهدارنده اتاقک نشان داده نشده است.

مقدار خطا در اندازه گیری هایی که با استفاده از اتاقک یونیزاسیون انجام یافته است همان طوری که از شکل های ۱ و ۲ پیداست،^۳ درصد بود. با توجه به نتایج بدست آمده توافق خوبی بین اندازه گیری های ژل در آزمون های تک میدانی وجود داشت. در ضمن هم چنان که از شکل ۲ پیداست برش تصویری ضخیم تر منجر به بهبود SNR شده است.



شکل ۲) منحنی درصد دوز عمقی محور مرکزی و مقایسه آن با مقادیر بدست آمده از اتاقک یونیزان در میدان 8×8 سانتی متری.

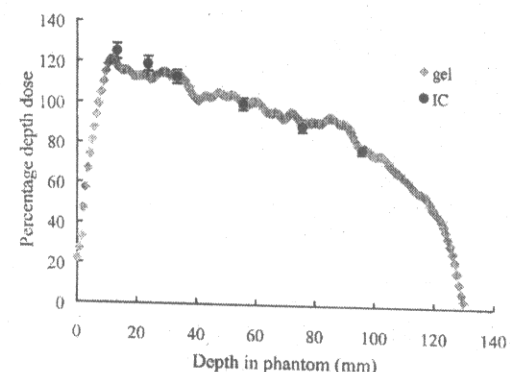
ب- نتایج پرتو دهی سه میدانی
توزيع دوز در ژل و کامپیوترا طراحی درمان در شکل ۳ مقایسه شده است. در ناحیه هم دوز ۵۰ درصد PIPS مقایسه وسعت ناحیه هم دوز با نرم افزار انتطبق $\pm 4\%$ در صدی را نشان می دهد. همان طوری که از شکل پیداست عمق ناحیه هم دوز ۲۰ درصد در ژل در نزدیکی محل خروجی دسته پرتو، نسبت به هم دوز مشابه کامپیوترا کمتر است.

(d_{max}) داده شد. این آزمایش با فانتوم شیشه ای با همان ابعاد تکرار گردید تا تاثیر نفوذ اکسیژن بر نقطه نرمالیز شده مشخص شود. تشعشع با استفاده از شتاب دهنده مارک SLI مدل Electa محدود کننده چندین پره ای (mlc) بود، با انتخاب انرژی های مگاولتی برقرار گردید. چهار روز بعد از پرتو دهی، از ژل ها تصویر برداری شد و برش های کرونال (به موازات محور دسته پرتو) به ضخامت های به ترتیب ۱۵ و ۲۰ میلیمتری از ژل تهیه گردید.

نتایج

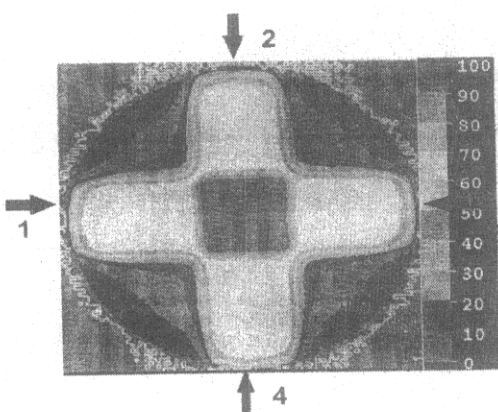
الف- نتایج پرتو دهی تک میدانی

توزیع دوز حاصل با استفاده از منحنی کالیبراسیون از تصویر محاسبه ای T₂ به دوز تبدیل شد و سپس نمودارهای درصد دوز عمقی در محور مرکزی که از توزیع دوز میدانهای 5×5 و 8×8 سانتیمتری بدست آمده بودند رسم شد که به ترتیب در شکل های ۱ و ۲ نشان داده شده است.



شکل ۱) مقایسه ای از منحنی های درصد دوز عمقی در محور مرکزی برای میدان 5×5 سانتی متری با استفاده از دوزیمتر ژل و اتاقک یونیزاسیون. داده ها به عمق ۵ سانتی متری نرمالیزه شده اند.

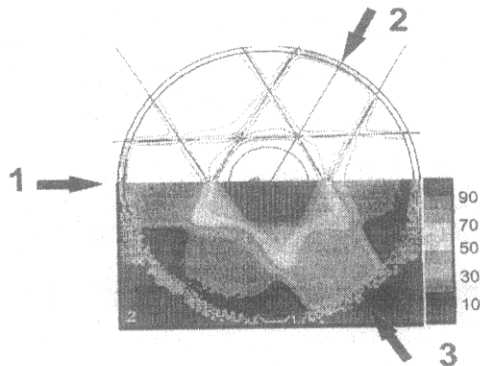
است. این شکل نشان میدهد که یک ناحیه مستطیلی شکل حاوی دوز بالا در محل تلاقی چهار میدان وجود دارد. مقایسه منحنی های هم دوز کامپیوتري و ژل پلیمر توافق بهتر از $\frac{3}{5}$ میلی متر را در منحنی های هم دوز ۹۰ تا ۶۰ درصد نشان می دهد. مقایسه وسعت دوز با استفاده از PIPS منجر به توافقی بین $\pm \frac{5}{7}$ درصد تا سطح دوز ± 70 درصدی و ± 8 درصد تا سطح ۶۰ درصدی هم دوز ± 50 درصد در ژل انتظار می رفت عمق ناحیه هم دوز ± 50 درصد در ژل نسبت به Helax-TMS بخاطر نزدیکی به دیواره پرسپکس کمتر بوده است.



شکل ۵) طرح دوز حاصل از MRI در ژلی که با چهار میدان تحت تابش قرار گرفته است.

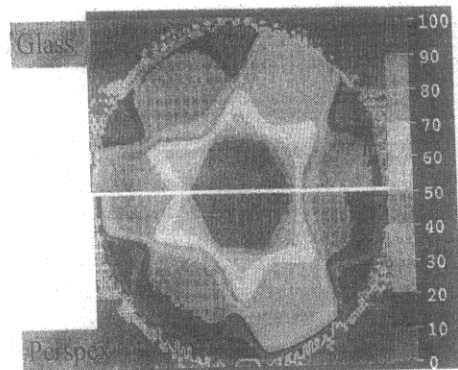
۵- توزیع دوز حاصل از ژل ناهمگن

مقایسه سطوح هم دوز در میدانهای متفاوت تشبع در ژل ناهمگن (شکاف هوایی در داخل ژل) در شکل ۶ (الف و ب) صورت گرفته است. اندازه گیری ها توافق مناسبی را بین ژل و طرح درمان Helax-TMS در سطح دوز ۹۰ درصدی برای میدان 4×4 سانتیمتری نشان می دهند. برای میدان 6×6 سانتیمتری توافق بهتری در اندازه گیری ناحیه هم دوز ۹۰ درصد بدست آمد.



شکل ۳: مقایسه طرح درمانی Helax و ژل در تابش سه میدانی.

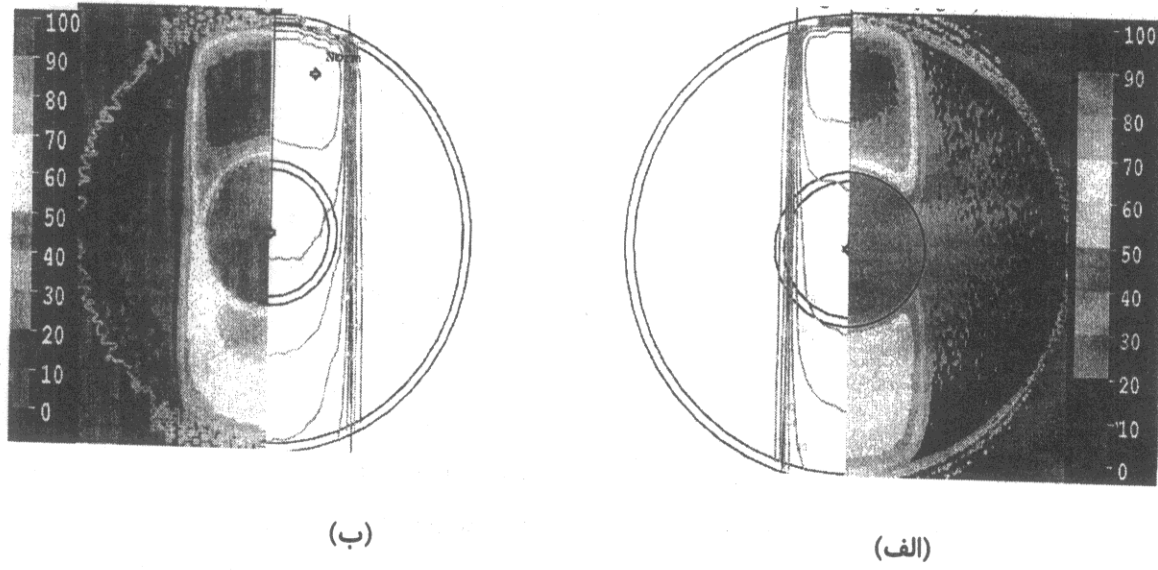
تأثیر جنس فانتوم بر میزان پلیمریزه شدن در شکل ۴ نشان داده شده است. در این شکل به روشنی میتوان دید که ژل در فانتوم پرسپکسی نسبت به فانتوم شیشه ای سطح هم دوز کمتری را در هر دو ناحیه ورودی و خروجی دسته پرتو نشان میدهد و همچنین میزان تاثیر جنس فانتوم در بخش خروجی نسبت به بخش ورودی بیشتر بوده طوریکه بخش مرکزی ژل از این تاثیر در امان مانده است.



شکل ۴: مقایسه توزیع دوز اندازه گیری شده در فانتوم های شیشه ای و پرسپکسی.

ج- نتایج پرتو دهی چهار میدانی

نتایج اندازه گیری توزیع دوز در روش چهار میدانی (دو جفت میدان متقابل) در شکل ۵ نشان داده شده



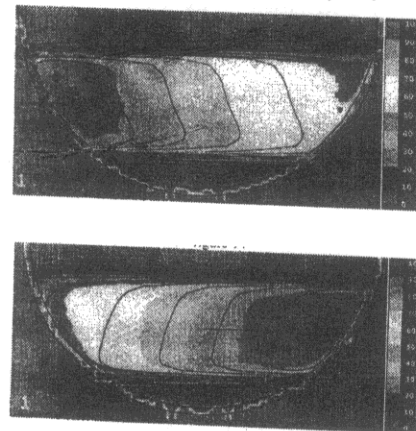
شکل ۶: الف - مقایسه ای از توزیع دوز حاصله در ژل و Helax-TMS برای میدان 4×4 سانتیمتری
ب - مقایسه سطح هم دوز درمیدان 6×6 سانتیمتری بین ژل و Helax-TMS

با اینکه توزیع دوز در فانتوم شیشه ای توافق خوبی با سیستم طراحی درمان (در حدود $2/5$ میلیمتر) نشان می دهد ولی باز هم ژل در بخش خروجی دسته پرتو ماگزینم اختلافی به میزان 4 میلی متر را در سطح هم دوز 90% نزدیک دیواره فانتوم به نمایش می گذارد.

بحث

به منظور تایید الگوریتم محاسبه دوز برای طراحی درمان سه بعدی و ایجاد اطمینان کیفی اندازه گیری توزیع دوز به طور تجربی ضروری است. روش های متداول اندازه گیری دوز احتمالاً برای تکنیک های ساده میتواند مفید باشد. برای حالات پیچیده ای مثل درمان Conformal، که نیاز به اندازه گیری سه بعدی دوز دارد نه تنها این روشها محدودیت های خاص خودشان را دارند، بلکه هنوز نگرانیهایی از قبیل، ایجاد اخلال در میدان تشعشع توسط خود دوزیمتر و تفکیک فضایی وجود دارد. در خصوص ژل های پلیمر این مسئله به علت اینکه دوزیمتر و

و- دسته پرتو مایل مقایسه توزیع دوز حاصل از دسته پرتو مایل 30° درجه ای در ژل و BANG به ترتیب در شکل های ۷ الف و ب نشان داده شده است. از شکل ۷ الف به وضوح پیدا است که اختلافی در حدود 10 میلیمتر در سطح هم دوز 90% تا 70 درصدی وجود دارد. در اینجا نیز بخش خروجی تشعشع بخارتر نزدیکی به دیواره پرسپکس اندازه گرفته نشده است.



شکل ۷: الف - مقایسه منحنی های هم دوز در ژل داخل فانتوم پرسپکسی و طرح درمان کامپیوترا. ب - مقایسه ای بین توزیع دوز حاصل از ژل در فانتوم شیشه ای و Helax-TMS

حال با اینکه استفاده از فانتوم شیشه‌ای این مشکل را مرتفع می‌کند، ولی هنوز حتی با استفاده از همچو فانتومی سطوح هم دوز طرح درمان کامپیوترا و ژل در مجاورت بخش خروجی دسته پرتو توافقی را نشان نمی‌دهند. این مسئله تایید می‌کند که الگوریتم Helax-TMS برای اصلاح عدم وجود پس پراکنده‌گی در بخش خروجی تدبیری انجام نداده است. برخلاف طرح‌های درمانی سه و چهار میدانی، بین توزیع دوز حاصل از دسته پرتو مایل در فانتوم پرسپکسی حاوی ژل و کامپیوترا طرح درمانی توافقی مشاهده نگردید. اعتقاد بر این است که تاثیر اکسیژن عامل این عدم توافق باشد که با کاهش حساسیت ژل باعث شده که مقدار عددی نقطه نرم‌مالیزاسیون در نزدیکی دیواره فانتوم کاهش یابد. نتایج بدست آمده با فانتوم شیشه‌ای این نظر را تایید می‌کند. عدم همخوانی در سطح هم دوز ۹۰٪ در آزمایش انجام یافته با فانتوم شیشه‌ای نیز ممکن است بخاطر الگوریتم Helax باشد. احتمال می‌رود که Helax یا تاثیر ضخامت بیشتر شیشه را در همچو برخورد مایل بحساب نمی‌آورد و یا اینکه سطح جدایی بین ژل و شیشه را بدرستی محاسبه نمی‌کند. عدم توافق هردو سیستم در ناحیه خروجی دسته پرتو می‌تواند به دلیل پس پراکنده‌گی باشد که در محاسبات Helax منظور نشده است.

با توجه به نتایج، اینطور بنظر میرسد که پرسپکس فانتوم مناسبی برای دوزیمترا با ژل نباشد. ولی اگر سطح نزدیک به دیواره فانتوم مدنظر نباشد، و این ناحیه مرکزی فانتوم ژل باشد که هدف دوزیمترا است از پرسپکس می‌توان استفاده کرد. بعلاوه انعطاف پذیری پرسپکس برای ساختن فانتومی در هر شکل و حجم دلخواه عاملی است که به کارگیری دوزیمترا ژل را در پرتو درمانی تسهیل می‌کند. نفوذ اکسیژن در حاشیه فانتوم بارزتر بوده و معمولاً ناحیه

فانتوم یکی می‌باشد وجود نداشته در ضمن ژل معادل بافت نرم نیز است. بررسی ویژگی‌های اصلی ژل BANG نشان داده است که دوزیمترا ژل پلیمر قابلیت حل اکثر مشکلات جاری دوزیمترا را دارد (۶). کاربرد ژل پلیمر عملاً در پرتو درمانی توافق خوبی با دوزیمترا متداول و توانایی آزمون الگوریتم‌های طراحی درمان نشان داده است (۷ و ۸). مقایسه دوز‌های عمقی اندازه گرفته شده توافق خوبی را با همدیگر داده است. این دادها با نتایج اندازه گیری‌های انجام گرفته توسط Maryanski و همکارانش با استفاده از دیود و ژل‌های BANG (۹) و BANG (۱۰) همخوانی داشته است. در این مطالعه، داده‌های دوز عمقی به علت تاثیر احتمال اکسیژن بر ژل مجاور قاعده پزشکی فانتوم به عمق ۵ سانتی‌متری نرم‌مالیزه شد. با اینکه اتفاق یونیزان در فانتوم آب برای تشعشع تک میدانی می‌تواند اندازه گیری‌های سریع تری را نسبت به ژل فراهم کند و برای اندازه گیری‌های پیچیده، حاوی دو یا چند میدان تشعشع که نیاز به قدرت تفکیک بالایی در سه بعد دارند، ژل روش سریع تری است. مقایسه طرح‌های درمانی سه و چهار میدانی در فانتوم پرسپکس توافق نزدیکی را بین ژل و کامپیوترا طرح درمان Helax-TMS به جز سطوح هم دوز نزدیک به دیواره نشان داد. بخشی از این اختلاف بخاطر آنست که در کامپیوترا طرح درمانی فقدان پس پراکنده‌گی مد نظر قرار نگرفته است. بعلاوه در این آزمایش بخاطر استفاده از پرسپکس تاثیر اکسیژن نیز وجود دارد. مواد پلاستیکی حاوی ماده هیپوکسیک، اکسیژن جوی را جذب کرده و به آرامی به ماده انتقال می‌دهند. اکسیژن از خود پرسپکس یا از طریق دیواره پرسپکس فانتوم نفوذ می‌کند. بنابراین چنین اختلاف‌هایی در نتایج می‌تواند با نفوذ اکسیژن از دیواره فانتوم توجیه شوند. در هر

پرسپکسی وجود دارد. در این اندازه گیری بخارت تاثیر جنس فانتوم و همچنین لوله پرسپکسی کار گذاشته شده در وسط ژل به عنوان شکاف هوایی، امکان مقایسه ژل و Helax-TMS همانند سایر اندازه گیری‌ها محدود نبود. برای این کار لازم است که اندازه گیری‌ها با استفاده از فانتوم شیشه‌ای و هم‌چنین جاگذاری لوله شیشه‌ای در وسط ژل و یا استفاده از پلاستیک‌های مقاوم به اکسیژن انجام گیرد.

نتیجه گیری

با توجه به داده‌های بدست آمده از این بررسی، می‌توان اذعان نمود که دوزیمتر ژل نه تنها توانایی کاربری در دوزیمتری تکنیک‌های ساده بلکه، تکنیک‌های پیچیده سه بعدی پرتو درمانی را دارا می‌باشد.

مرکزی فانتوم متاثر نمی‌شود. مقایسه توزیع دوز در فانتوم‌های پرسپکسی و شیشه‌ای همان طوریکه انتظار می‌رفت، نشان داد که اثر اکسیژن در بخش ورودی و خروجی دسته پرتو یکسان نمی‌باشد. این اثر در قسمت ورودی دسته پرتو جائی که میزان دوز در آن بالا است کمتر از ناحیه خروجی است در هر حال، بنظر میرسد که استفاده از پرسپکس به عنوان جنس فانتوم نه تنها نبایستی کاملاً منسخ شود بلکه پلاستیک‌های دیگری با ویژگی‌های نفوذی بهتر نیز باشند مورد بررسی قرار گیرد تا بلکه بتوان به عنوان مواد تشکیل دهنده فانتوم بکار گرفت.

ایجاد ناهمگنی با استفاده از شکاف هوایی در داخل ژل منجر به نتایج امیداور کننده‌ای شد. اگرچه توزیع دوز حاصله در ژل توافق نسبتاً خوبی را با طرح درمان Helax-TMS نشان داده است، ولی هنوز عدم توافق‌هایی بخارت دیواره فانتوم و لوله

References:

- 1- Brahme A. Design principles and clinical possibilities with a new generation of radiation therapy equipment. A review. *Acta Oncol.* 1987; 26: 403-412.
- 2- Farajollahi A.R. Bonnett D.E., Aukett R.J., Mills J. A. An investigation into the use of polymer gel dosimetry in low dose rate brachytherapy. *BJR*, 1999, 72:1085-1092.
- 3- Scheib SG, Gianolini S. Three-dimensional dose verification using BANG gel: a clinical example. *J Neurosurg* 2002;97(5 Suppl):582-587
- 4- Novotny J Jr, Novotny J, Spevacek V, Uvorak P, Cechak T, Liscak R, Brozek G, Tintera J, Vymazal J. Application of polymer gel dosimetry in gamma knife radiosurgery. *J Neurosurg* 2002; 97 (5Suppl): 556-562.
- 5- Farajollahi A.R., Bonnett D.E., Aukett R.J., Ratcliffe A.J. The advantages and limitations of polymer gel dosimetry in

- brachytherapy. Proc World Cong. Med. Phys. Bio. Eng., Nice, 1997, 840.
- 6- Farajollahi A.R. An investigation into the applications of polymer gel dosimetry in radiotherapy. PhD thesis. 1998.
- 7- De Deene Y. Gel dosimetry for the dose verification of intensity modulated radiotherapy treatments Z Med Phys 2002;12:77-88.
- 8- Novotny J Jr, Dvorak P, Spevacek V, Tintera J, Novotny J, Cechak T. Medical application of 3-D polymer gel dosimeter evaluated by nuclear magnetic resonance.Radiat Prot Dosimetry 2002;101:399-402.
- 9- Maryanski M.J., Schulz R.J., Ibbott G.S., Gatenby J.C., Xie J., Horton D., Gore J.C. Magnetic resonance imaging of radiation dose distributions using a polymer-gel dosimeter. Phys. Med. Bio.,1994,39:1437-1455.
- 10- Maryanski M.J Ibbott G.S., Estman P., Schulz R.J., Gore J.C. Radiation therapy dosimetry using magnetic resonance imaging of polymer gels. Med. Phys.1996; 23: 699-705.